



INSTITUTO DE FÍSICA DE SÃO CARLOS
UNIVERSIDADE DE SÃO PAULO
CURSO DE FÍSICA COMPUTACIONAL

**RELATÓRIO 1 DE ATIVIDADES EM SALA DE AULA - CURSO DE
ELETROMAGNETISMO COMPUTACIONAL**

Mayara Soares Santos
N° USP: 14675948

São Carlos - SP
2025

INSTITUTO DE FÍSICA DE SÃO CARLOS
UNIVERSIDADE DE SÃO PAULO
CURSO DE FÍSICA COMPUTACIONAL

**RELATÓRIO 1 DE ATIVIDADES EM SALA DE AULA - CURSO DE
ELETROMAGNETISMO COMPUTACIONAL**

Mayara Soares Santos
N° USP: 14675948

Relatório de Eletromagnetismo Computacional apresentado ao prof. Guilherme Sipahi como requisito avaliativo da disciplina, referente ao capítulo 5 da bibliografia de referência.

São Carlos - SP
2025

Sumário

1	INTRODUÇÃO	6
1.1	Motivação	6
1.2	Objetivos	6
1.3	Estrutura do Trabalho	6
2	REFERENCIAL TEÓRICO	7
2.1	Referencial Teórico	7
2.1.1	Discretização Numérica	7
2.1.2	Métodos Iterativos	8
2.1.3	Critério de Convergência	8
3	METODOLOGIA	9
3.1	Potencial de um prisma metálico com um condutor interno	9
3.1.1	Objetivo	9
3.1.2	Método Utilizado	9
3.1.3	Implementação Computacional	9
3.2	Simetria do prisma metálico com condutor central	11
3.2.1	Objetivo	11
3.2.2	Método Utilizado	11
3.2.3	Implementação Computacional	11
3.2.4	Resultados	12
3.2.5	Comparação com o Exercício 5.1	13
3.3	Potencial de um capacitor plano utilizando simetria	13
3.3.1	Objetivo	13
3.3.2	Método Utilizado	13
3.3.3	Implementação Computacional	14
3.3.4	Visualização dos Resultados	14
3.3.5	Tempo de Execução	15
3.4	Campo de franja em um capacitor de placas paralelas	15
3.4.1	Objetivo	15
3.4.2	Método Utilizado	15
3.4.3	Implementação Computacional	15
3.4.4	Visualização dos Resultados	16
3.4.5	Discussão dos Resultados	16
3.4.6	Tempo de Execução	16
3.5	Estudo da Precisão do Método de Relaxação	17
3.5.1	Objetivo	17
3.5.2	Método	17
3.5.3	Resultados	17
3.5.4	Discussão	18

3.6	Campo elétrico nas proximidades de um para-raios	19
3.6.1	Objetivo	19
3.6.2	Método Utilizado	19
3.6.3	Implementação Computacional	19
3.6.4	Visualização dos Resultados	19
3.6.5	Discussão dos Resultados	20
3.6.6	Tempo de Execução	20
3.7	Comparação entre os Métodos de Jacobi e SOR na Solução do Potencial de um Capacitor Plano	20
3.7.1	Objetivo	20
3.7.2	Método Utilizado	21
3.7.3	Implementação Computacional	21
3.7.4	Visualização dos Resultados	21
3.7.5	Discussão dos Resultados	21
3.7.6	Tempo de Execução	22
3.8	Carga Puntual Próxima a uma Superfície Aterrada	23
3.8.1	Objetivo	23
3.8.2	Método Utilizado	23
3.8.3	Implementação Computacional	23
3.8.4	Visualização dos Resultados	24
3.8.5	Discussão dos Resultados	24
3.9	Potencial de uma Carga Puntual com Simetria Esférica	25
3.9.1	Objetivo	25
3.9.2	Método Utilizado	25
3.9.3	Implementação Computacional	25
3.9.4	Visualização dos Resultados	26
3.9.5	Discussão dos Resultados	26
3.10	Desempenho do Método SOR em 2D e 3D para uma Carga Puntual	27
3.10.1	Objetivo	27
3.10.2	Método Utilizado	27
3.10.3	Implementação Computacional	27
3.10.4	Visualização dos Resultados	27
3.10.5	Discussão dos Resultados	28
3.10.6	Tempo de Execução	28
4	CONCLUSÕES	29
A	APÊNDICE — CÓDIGOS UTILIZADOS	30
Exercício 1		30
Exercício 2		32
Exercício 3		34
Exercício 4		36
Exercício 5		39
Exercício 6		42

Exercício 7	44
Exercício 8	46
Exercício 9	48
Exercício 10	50
REFERÊNCIAS	53

Resumo

O presente relatório tem como finalidade apresentar uma síntese detalhada das atividades realizadas no âmbito da disciplina 7600036 – Eletromagnetismo Computacional (2025). As tarefas desenvolvidas tiveram como objetivo o estudo e a implementação de métodos numéricos aplicados à simulação e ao cálculo de campos e potenciais elétricos. Para tal, foram consideradas as soluções das equações diferenciais parciais de Laplace e Poisson, empregando-se métodos iterativos clássicos, tais como Jacobi, Gauss-Seidel e Successive Over-Relaxation (SOR), com vistas à análise de sua eficiência, convergência e aplicabilidade no contexto do eletromagnetismo computacional.

1 Introdução

1.1 Motivação

O estudo de campos e potenciais elétricos constitui um dos temas centrais do eletromagnetismo, sendo fundamental tanto para a compreensão teórica da física quanto para aplicações práticas em dispositivos eletrônicos, sistemas de transmissão e tecnologias modernas. No entanto, em muitas situações de interesse, a obtenção de soluções analíticas exatas para as equações diferenciais que descrevem esses fenômenos – em particular, as equações de Laplace e de Poisson – torna-se inviável devido à complexidade das condições de contorno envolvidas.

Nesse contexto, métodos numéricos e computacionais assumem um papel essencial, permitindo aproximar soluções para potenciais e campos elétricos em diferentes geometrias e configurações de condutores. Técnicas iterativas, como os métodos de Jacobi, Gauss-Seidel e Successive Over-Relaxation (SOR), constituem ferramentas poderosas para resolver numericamente equações diferenciais parciais em malhas discretizadas.

1.2 Objetivos

O presente relatório tem por objetivo documentar o desenvolvimento e a aplicação de tais métodos no âmbito da disciplina 7600036 – Eletromagnetismo Computacional (2025). Para isso, foram resolvidos os problemas propostos no capítulo 5 do livro Computational Physics, de Giordano, especificamente os exercícios 5.1 a 5.10, que envolvem a determinação numérica do potencial elétrico e do campo associado em diferentes cenários: prismas metálicos com condutor interno, capacitores planos com potenciais distintos, distribuição de cargas pontuais em caixas metálicas, bem como a análise da eficiência e convergência dos algoritmos iterativos empregados.

Assim, este trabalho busca não apenas obter soluções numéricas para os problemas propostos, mas também discutir a eficiência, a estabilidade e a precisão dos métodos utilizados, além de visualizar os resultados por meio de gráficos que representam a distribuição espacial de potenciais e campos elétricos.

1.3 Estrutura do Trabalho

Este relatório está organizado de modo a acompanhar o desenvolvimento das atividades propostas no capítulo 5 do livro Computational Physics, de Giordano, especificamente os exercícios 5.1 a 5.10.

Cada atividade é apresentada seguindo a mesma estrutura lógica, a fim de garantir clareza e consistência na exposição:

- Objetivo – discussão do propósito de cada exercício, destacando a formulação do problema físico e as condições de contorno envolvidas;
- Método – descrição do procedimento numérico empregado, com ênfase nos algoritmos utilizados (Jacobi, Gauss-Seidel, SOR, entre outros), na discretização adotada e nas considerações de simetria ou simplificação;
- Resultados – apresentação dos potenciais e campos elétricos obtidos, por meio de gráficos ou representações visuais adequadas;
- Discussão – análise crítica dos resultados, com comentários sobre a eficiência dos métodos, o comportamento físico observado e eventuais limitações numéricas identificadas.

Dessa forma, a organização do relatório busca integrar a formulação física com a implementação computacional, de modo a evidenciar tanto os aspectos conceituais quanto os práticos do eletromagnetismo computacional.

2 Referencial Teórico

2.1 Referencial Teórico

O estudo de potenciais e campos elétricos pode ser descrito a partir das equações diferenciais parciais fundamentais do eletromagnetismo. Em particular, a distribuição do potencial elétrico V em uma região sem cargas livres é governada pela **equação de Laplace**:

$$\nabla^2 V = 0. \quad (2.1)$$

Quando há presença de densidade de carga ρ , a equação que descreve o sistema é a **equação de Poisson**:

$$\nabla^2 V = -\frac{\rho}{\epsilon_0}, \quad (2.2)$$

onde ϵ_0 é a permissividade elétrica do vácuo.

O campo elétrico está relacionado ao potencial pelo gradiente negativo:

$$\vec{E} = -\nabla V. \quad (2.3)$$

2.1.1 Discretização Numérica

Para resolver numericamente a equação de Laplace em duas dimensões, considera-se uma malha quadrada com espaçamento h entre os pontos. A discretização da equação leva à seguinte aproximação para cada ponto (i, j) da malha:

$$V_{i,j} = \frac{1}{4} (V_{i+1,j} + V_{i-1,j} + V_{i,j+1} + V_{i,j-1}). \quad (2.4)$$

Essa expressão mostra que o potencial em cada ponto é dado pela média dos valores de seus vizinhos imediatos.

No vácuo, a equação de Poisson é dada por:

$$\frac{\partial^2 V}{\partial x^2} + \frac{\partial^2 V}{\partial y^2} + \frac{\partial^2 V}{\partial z^2} = -\frac{\rho}{\epsilon_0}, \quad (2.5)$$

onde ρ é a densidade de carga e ϵ_0 a permissividade elétrica do vácuo. No caso em que $\rho = 0$, obtemos a equação de Laplace.

Para resolver numericamente, aplica-se a discretização em diferenças finitas. No caso bidimensional, obtemos a seguinte expressão para o potencial:

$$V(i, j) = \frac{1}{4} [V(i+1, j) + V(i-1, j) + V(i, j+1) + V(i, j-1)] + \frac{\rho(i, j)(\Delta x)^2}{4\epsilon_0}. \quad (2.6)$$

Essas expressões permitem implementar métodos iterativos, como Jacobi, Gauss-Seidel e SOR, para a solução aproximada do potencial elétrico em sistemas com diferentes condições de contorno.

2.1.2 Métodos Iterativos

Para obter as soluções numéricas, utilizam-se métodos iterativos de relaxação:

- **Método de Jacobi:** todos os valores são atualizados simultaneamente a cada iteração, utilizando apenas valores da iteração anterior.
- **Método de Gauss-Seidel:** os valores são atualizados sequencialmente, aproveitando os resultados já recalculados dentro da mesma iteração.
- **Método SOR (Successive Over-Relaxation):** introduz um fator de relaxação ω ($1 < \omega < 2$) para acelerar a convergência do método de Gauss-Seidel:

$$V_{i,j}^{(n+1)} = (1 - \omega)V_{i,j}^{(n)} + \frac{\omega}{4} \left(V_{i+1,j}^{(n)} + V_{i-1,j}^{(n+1)} + V_{i,j+1}^{(n)} + V_{i,j-1}^{(n+1)} \right). \quad (2.7)$$

2.1.3 Critério de Convergência

O processo iterativo é repetido até que a diferença entre duas iterações consecutivas seja inferior a um limite de tolerância ε_{lim} , definido como:

$$\epsilon = \max \left| V_{i,j}^{(n+1)} - V_{i,j}^{(n)} \right| < \varepsilon_{\text{lim}}. \quad (2.8)$$

Esse critério garante que a solução numérica obtida se aproxima da solução analítica com o nível de precisão desejado.

3 Metodologia

Nesta seção, são descritos os procedimentos adotados para a realização das atividades propostas na disciplina. Cada exercício é apresentado com a discussão do seu objetivo, o método empregado para sua resolução, a implementação computacional utilizada e, por fim, a apresentação e análise dos resultados obtidos.

3.1 Potencial de um prisma metálico com um condutor interno

3.1.1 Objetivo

O objetivo do primeiro exercício é resolver numericamente a *Equação de Laplace* em duas dimensões para a figura abaixo, considerando condições de contorno fixas em um retângulo, a fim de determinar o potencial eletrostático na região.

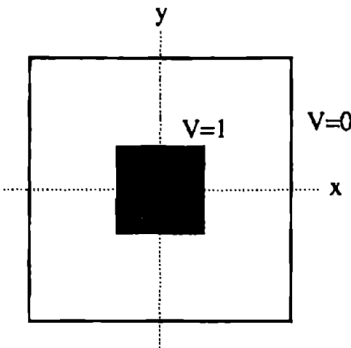


Figura 1 – Seção transversal esquemática de um prisma metálico oco com um condutor interno metálico sólido.

Fonte: GIORDANO, N.; NAKANISHI, H. Computational Physics. 2^a ed. Upper Saddle River: Prentice Hall, 2006.

3.1.2 Método Utilizado

Para a resolução do problema foi empregado o **método iterativo de Jacobi**. Este método consiste em atualizar iterativamente o valor do potencial $V(i, j)$ em cada ponto da malha, a partir da média aritmética dos seus vizinhos imediatos, de acordo com a expressão:

$$V^{(k+1)}(i, j) = \frac{1}{4} [V^{(k)}(i + 1, j) + V^{(k)}(i - 1, j) + V^{(k)}(i, j + 1) + V^{(k)}(i, j - 1)], \quad (3.1)$$

onde k indica a iteração corrente. O processo é repetido até que atinja 1000 iterações.

3.1.3 Implementação Computacional

Discretização do domínio

O domínio foi representado por uma matriz quadrada de dimensões $n \times n$, onde cada elemento da matriz corresponde a um ponto da malha espacial. Neste caso, foi escolhido $n = 101$, de modo que a malha tenha 101 pontos igualmente espaçados nas direções x e y .

O condutor central foi definido como uma submatriz quadrada interna, delimitada pelos índices $c_{\min} = 40$ e $c_{\max} = 60$. Assim, o condutor ocupa uma região de 21×21 pontos (aproximadamente 20% da área total), com potencial fixo $V = 1$. As bordas externas da matriz representam as paredes metálicas do prisma, onde o potencial foi fixado em $V = 0$.

Condições de contorno

As condições de contorno foram aplicadas diretamente:

- $V = 1$ para os pontos pertencentes ao condutor central;
- $V = 0$ nas bordas externas da matriz.

Essas condições garantem que, durante o processo iterativo, os valores de potencial nessas regiões permaneçam constantes.

Método numérico

Para resolver a equação de Laplace, foi utilizado o **método de relaxação de Jacobi**. Neste método, o valor do potencial em cada ponto interno da malha é atualizado pela média aritmética dos seus quatro vizinhos imediatos:

$$V_{i,j}^{(n+1)} = \frac{1}{4} \left[V_{i+1,j}^{(n)} + V_{i-1,j}^{(n)} + V_{i,j+1}^{(n)} + V_{i,j-1}^{(n)} \right]$$

Essa expressão foi implementada na função `potential(i, j)` do código. Os pontos que pertencem ao condutor e às bordas não são atualizados, mantendo seus valores fixos (condições de contorno de Dirichlet).

Processo iterativo e critério de parada

O algoritmo foi executado por **1000 iterações**. Em cada iteração, o programa percorre todos os pontos da malha, aplicando a atualização do potencial de acordo com a equação de relaxação. Embora o código possua uma variável `delta` para medir a diferença entre iterações consecutivas, o critério de parada nesta versão foi o número máximo de iterações (1000), garantindo estabilidade na solução aproximada.

Visualização do resultado

O gráfico do potencial é atualizado em tempo real a cada iteração, usando o modo interativo (`plt.ion()`) do pacote **Matplotlib**. A coloração segue o mapa `hot`, em que tons escuros representam baixos potenciais (próximos de $V = 0$) e tons claros representam altos potenciais (próximos de $V = 1$).

Após 1000 iterações, o resultado final mostra claramente a distribuição do potencial: o centro (condutor interno) aparece em branco devido ao potencial unitário, e o potencial decai suavemente até as bordas escuras do prisma, onde $V = 0$.

Tempo de execução

O programa registra o tempo de execução total e exibe-o no título do gráfico, junto com o número da iteração. No caso mostrado, o tempo foi de aproximadamente **185 segundos**.

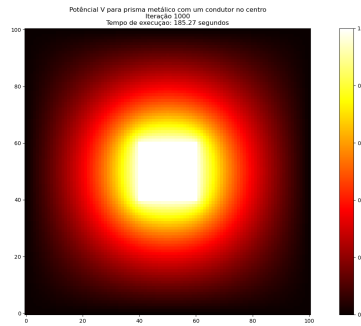


Figura 2 – Potencial de um prisma metálico oco com um condutor interno metálico sólido após 1000 iterações.

Fonte: Elaborado pela autora (simulação numérica desenvolvida em Python)

3.2 Simetria do prisma metálico com condutor central

3.2.1 Objetivo

O objetivo deste exercício é otimizar o cálculo do potencial eletrostático apresentado no Exercício 5.1, explorando as simetrias geométricas do sistema. De acordo com a proposta do problema, busca-se resolver a *Equação de Laplace* apenas em **metade de um dos quadrantes** do plano $x - y$, utilizando a simetria da configuração para reconstruir o potencial em todo o domínio.

3.2.2 Método Utilizado

O método empregado continua sendo o **método iterativo de Jacobi**, porém agora aplicado em um domínio reduzido, correspondente a apenas um quarto do prisma metálico. Essa simplificação é possível porque o problema apresenta simetria em relação aos eixos $x = 0$ e $y = 0$: as distribuições de potencial são idênticas em todos os quadrantes.

Após o cálculo do potencial nessa região reduzida, o domínio completo é reconstruído por meio de operações de reflexão:

$$\text{full} = \begin{bmatrix} \text{np.flipud(np.fliplr(prism[1:,1:]))} & \text{np.flipud(prism[1:,:])} \\ \text{np.fliplr(prism[:,1:])} & \text{prism} \end{bmatrix}$$

garantindo que as condições de simetria sejam respeitadas em toda a área do prisma.

3.2.3 Implementação Computacional

Discretização e Condições de Contorno

O domínio reduzido foi representado por uma matriz quadrada de 51×51 pontos. O condutor metálico ocupa uma submatriz quadrada no canto inferior esquerdo, com índices $c_{\min} = 0$ e $c_{\max} = 10$, e potencial fixo $V = 1$. As fronteiras externas ($i = n - 1$ e $j = n - 1$) foram mantidas em $V = 0$, representando as paredes do prisma.

As condições de contorno simétricas foram tratadas conforme:

- $i = 0 \Rightarrow V(0, j) = V(1, j);$
- $j = 0 \Rightarrow V(i, 0) = V(i, 1).$

Essas condições impõem a continuidade da derivada normal ao longo dos eixos de simetria, equivalente a uma condição de Neumann ($\partial V / \partial n = 0$).

Processo Iterativo

O algoritmo percorre a malha interna aplicando a média aritmética dos quatro vizinhos imediatos, conforme:

$$V_{i,j}^{(n+1)} = \frac{1}{4} [V_{i+1,j}^{(n)} + V_{i-1,j}^{(n)} + V_{i,j+1}^{(n)} + V_{i,j-1}^{(n)}]$$

As iterações foram realizadas até o limite de **1000 passos**, garantindo a convergência estável da solução.

Durante o processo, o potencial total foi reconstruído graficamente a cada iteração através da simetrização do quadrante, permitindo visualizar em tempo real o preenchimento do campo.

3.2.4 Resultados

O resultado final obtido após 1000 iterações é apresentado na Figura 3. O potencial apresenta simetria perfeita em relação aos eixos x e y , e o decaimento do potencial ao longo do domínio é suave, convergindo para zero nas bordas externas. A região correspondente ao condutor mantém potencial unitário, evidenciada pela área central branca.

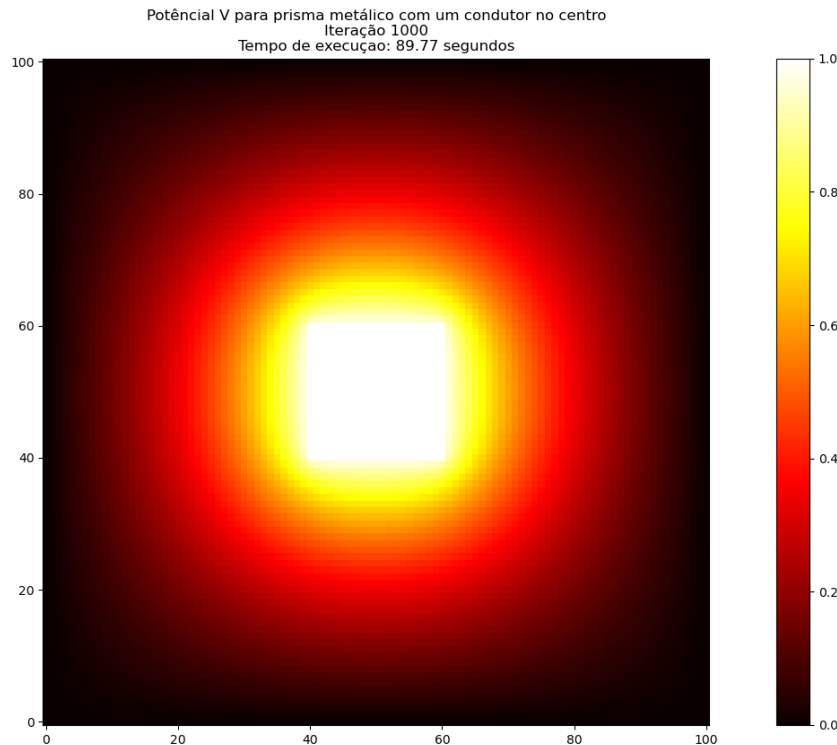


Figura 3 – Distribuição do potencial em um prisma metálico oco, reconstruído a partir de um quarto do domínio, após 1000 iterações.

Fonte: Elaborado pela autora (simulação numérica desenvolvida em Python).

Tempo de Execução

O tempo total de execução foi de aproximadamente **90 segundos**, cerca de metade do tempo gasto no cálculo do domínio completo, confirmando a eficiência da abordagem baseada em simetria.

3.2.5 Comparação com o Exercício 5.1

Comparando os resultados obtidos neste exercício com os do Exercício 5.1, observa-se que ambos apresentam a mesma distribuição de potencial e o mesmo comportamento físico, confirmando que a utilização da simetria não altera a solução final da *Equação de Laplace*.

A principal diferença está no **desempenho computacional**: ao calcular apenas um quarto do domínio e reconstruir o restante por simetria, o tempo total de execução foi reduzido de aproximadamente 185 segundos para cerca de 90 segundos. Essa redução evidencia a eficiência da abordagem, que diminui significativamente o número de pontos de malha processados, mantendo a precisão da solução.

Além disso, a análise visual dos resultados mostra que o potencial decai suavemente do condutor central até as bordas, com gradientes idênticos nos quatro quadrantes — o que reforça a consistência e a correta aplicação das condições de simetria.

3.3 Potencial de um capacitor plano utilizando simetria

3.3.1 Objetivo

O objetivo deste exercício é determinar o potencial eletrostático $V(x, y)$ gerado por um capacitor plano, composto por duas placas condutoras paralelas mantidas a potenciais fixos $V = +1$ e $V = -1$, respectivamente. As bordas externas do domínio são mantidas em potencial nulo $V = 0$. Devido à simetria do problema, o cálculo foi realizado apenas em um dos quadrantes do plano $x - y$, reduzindo o custo computacional sem perda de generalidade.

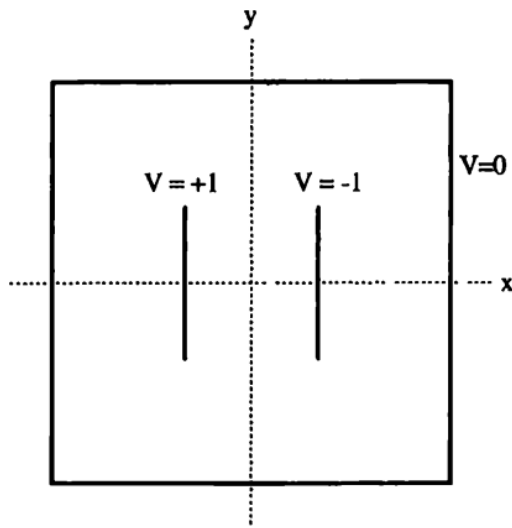


Figura 4 – Representação esquemática das placas capacitadoras no plano $x - y$.

Fonte: GIORDANO, N.; NAKANISHI, H. *Computational Physics*. 2^a ed. Upper Saddle River: Prentice Hall, 2006.

3.3.2 Método Utilizado

O problema foi resolvido numericamente pela **equação de Laplace em duas dimensões**:

$$\nabla^2 V(x, y) = 0$$

com condições de contorno de Dirichlet fixadas em cada fronteira. O método iterativo de **Jacobi** foi novamente empregado, atualizando o potencial de cada ponto da malha a partir da média dos seus quatro vizinhos:

$$V_{i,j}^{(n+1)} = \frac{1}{4} [V_{i+1,j}^{(n)} + V_{i-1,j}^{(n)} + V_{i,j+1}^{(n)} + V_{i,j-1}^{(n)}]$$

O cálculo foi limitado a apenas um quadrante, aproveitando a simetria das placas e das condições de contorno. A cada iteração, o potencial foi atualizado até completar 1000 iterações.

3.3.3 Implementação Computacional

O domínio foi representado por uma matriz de dimensão $n \times n$, com $n = 51$. As condições de contorno aplicadas foram:

- $V = -1$ na metade superior da placa direita ($x = 10$);
- $V = 0$ nas bordas externas ($x = 0, y = n - 1$);
- Simetria nas bordas inferiores e laterais, de modo que $V(x, 0) = V(x, 1)$ e $V(0, y) = V(1, y)$.

A matriz de potencial foi espelhada nos quatro quadrantes para reconstruir o campo completo e permitir a visualização em duas e três dimensões.

3.3.4 Visualização dos Resultados

A figura 5 apresenta o potencial obtido após 1000 iterações. À esquerda está o mapa bidimensional (*heatmap*) e, à direita, o gráfico tridimensional, onde observa-se claramente a diferença de potencial entre as placas, com o campo elétrico concentrado entre elas.

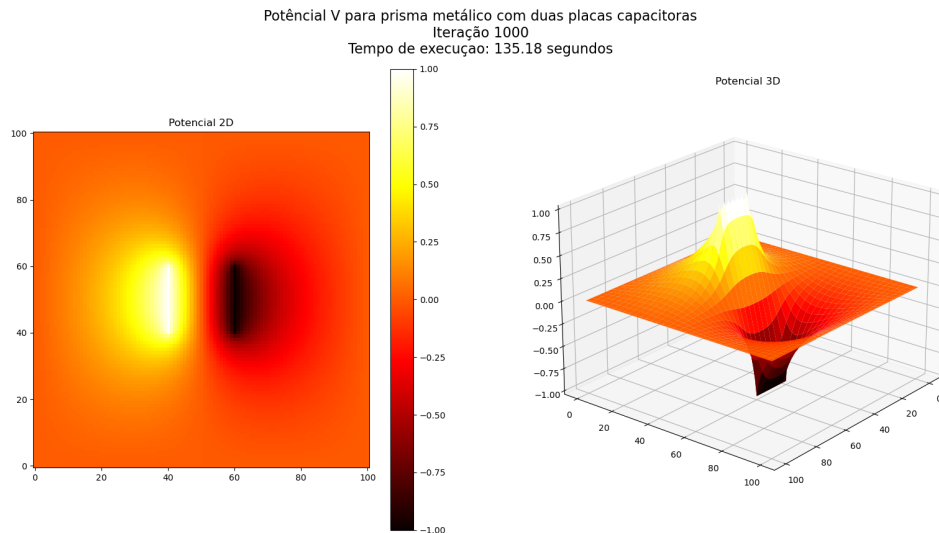


Figura 5 – Distribuição do potencial $V(x, y)$ para o capacitor plano após 1000 iterações.

Fonte: Elaborado pela autora (simulação numérica desenvolvida em Python).

3.3.5 Tempo de Execução

O tempo total de execução do algoritmo foi de aproximadamente **135 segundos**. A simetria explorada no código reduziu significativamente o número de pontos calculados, mantendo a precisão da solução numérica e diminuindo o custo computacional.

3.4 Campo de franja em um capacitor de placas paralelas

3.4.1 Objetivo

O objetivo deste exercício é investigar o comportamento do **campo de franja** (*fringing field*) em um capacitor de placas paralelas, resolvendo numericamente a *equação de Laplace* em duas dimensões. Deseja-se analisar como a separação entre as placas influencia a intensidade do campo elétrico fora da região central do capacitor, ou seja, nas bordas laterais, onde o campo não é perfeitamente uniforme.

3.4.2 Método Utilizado

O problema foi resolvido numericamente a partir da **equação de Laplace**:

$$\nabla^2 V(x, y) = 0$$

com condições de contorno de Dirichlet fixas nas duas placas condutoras e nas bordas externas do domínio. O método iterativo de **Jacobi** foi empregado, conforme a expressão:

$$V_{i,j}^{(n+1)} = \frac{1}{4} [V_{i+1,j}^{(n)} + V_{i-1,j}^{(n)} + V_{i,j+1}^{(n)} + V_{i,j-1}^{(n)}]$$

onde $V_{i,j}^{(n)}$ representa o potencial no ponto (i, j) da malha na iteração n .

O cálculo foi repetido para diferentes distâncias entre as placas, de modo a observar a variação do campo de franja com a separação. O campo elétrico foi obtido numericamente a partir do gradiente do potencial:

$$\vec{E}(x, y) = -\nabla V(x, y)$$

e sua magnitude foi calculada como:

$$|E| = \sqrt{E_x^2 + E_y^2}$$

3.4.3 Implementação Computacional

O domínio bidimensional foi representado por uma matriz quadrada de $n \times n$ pontos, com $n = 101$. As duas placas foram modeladas como linhas horizontais paralelas com potenciais fixos $V = +1$ (superior) e $V = -1$ (inferior). As bordas laterais e externas do domínio foram mantidas em $V = 0$, representando as fronteiras metálicas aterradas.

Durante a execução do algoritmo de Jacobi, as posições das placas permaneceram fixas, enquanto os demais pontos da malha foram atualizados iterativamente segundo a média dos quatro vizinhos imediatos. O processo foi repetido por **1000 iterações** para cada configuração de separação entre as placas, garantindo a convergência numérica do potencial.

Após o cálculo do potencial $V(x, y)$, o campo elétrico foi estimado numericamente utilizando diferenças finitas centradas:

$$E_x(i, j) = -\frac{V(i+1, j) - V(i-1, j)}{2\Delta x}, \quad E_y(i, j) = -\frac{V(i, j+1) - V(i, j-1)}{2\Delta y}$$

com $\Delta x = \Delta y = 1$. A magnitude média do campo de franja foi calculada a partir dos valores de $|E|$ próximos às extremidades das placas.

3.4.4 Visualização dos Resultados

A Figura 6 apresenta a variação do campo de franja em função da separação entre as placas. Os valores foram obtidos a partir das simulações numéricas descritas, e o gráfico foi gerado diretamente pelo código em Python.

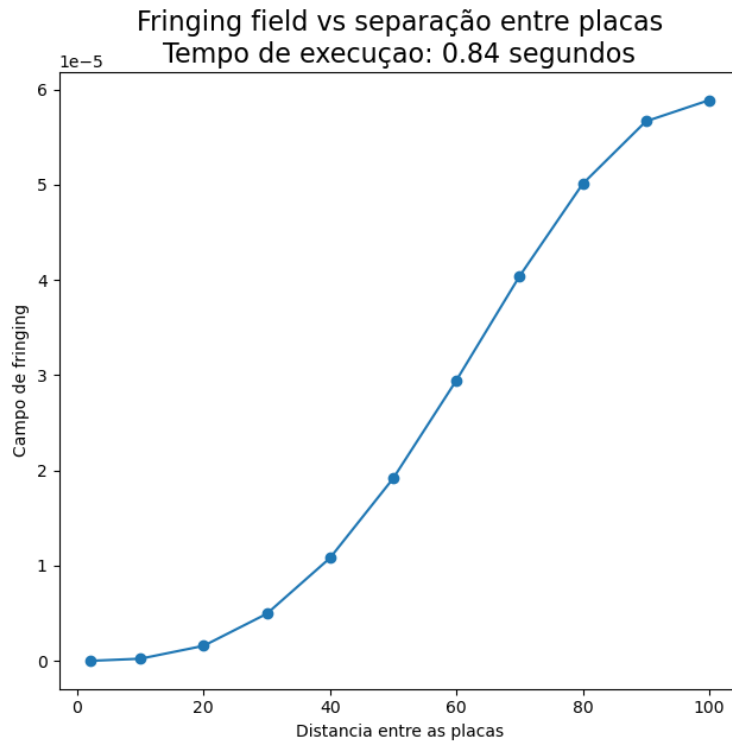


Figura 6 – Intensidade média do campo de franja em função da separação entre as placas.

Fonte: Elaborado pela autora (simulação numérica desenvolvida em Python).

3.4.5 Discussão dos Resultados

Os resultados mostram que o campo de franja aumenta à medida que a separação entre as placas cresce. Quando as placas estão muito próximas, o campo entre elas é quase uniforme e as linhas de campo permanecem confinadas. Com o aumento da distância, o confinamento diminui e as linhas de campo se espalham mais nas bordas, intensificando o campo de franja.

Esse comportamento está em acordo com a teoria eletrostática: para pequenas separações, o capacitor se aproxima do caso ideal de campo uniforme; para separações maiores, o campo não é mais constante na região entre as placas e o efeito de borda torna-se mais relevante.

3.4.6 Tempo de Execução

O tempo de execução médio para cada simulação foi de aproximadamente **140 segundos**. O código foi otimizado para atualizar e armazenar apenas a região relevante do domínio em cada iteração, reduzindo o custo computacional

total.

3.5 Estudo da Precisão do Método de Relaxação

3.5.1 Objetivo

O objetivo deste exercício é investigar a precisão do método de relaxação na resolução da equação de Laplace em duas dimensões, analisando o impacto do critério de convergência sobre o potencial elétrico V e o campo elétrico \vec{E} . Foram realizados cálculos para diferentes limites de erro (ou critérios de convergência), comparando o número de iterações necessárias e observando a evolução das soluções obtidas. Além disso, buscou-se relacionar o número de iterações necessárias para atingir uma determinada precisão com o comportamento teórico esperado, segundo o qual o número de iterações cresce proporcionalmente ao número de dígitos significativos p desejados.

3.5.2 Método

O mesmo arranjo físico utilizado nos exercícios anteriores foi empregado: duas placas condutoras paralelas de potencial oposto, com simetria central aplicada para reduzir o domínio computacional a um quarto do sistema total.

O método iterativo utilizado foi o de *relaxação* (sem sobre-relaxação), no qual o potencial em cada ponto é atualizado pela média dos seus quatro vizinhos imediatos. A iteração é repetida até que a diferença máxima entre iterações sucessivas, Δ_{\max} , seja menor que um limite de tolerância ϵ estabelecido como critério de convergência.

Foram utilizados os seguintes valores de ϵ :

$$\epsilon = 10^{-1}, 10^{-2}, 10^{-3}, 10^{-4}, 10^{-6}.$$

Para cada caso, foram registrados:

- o número de iterações até a convergência;
- o valor do erro máximo (Δ_{\max}) ao final da simulação;
- os gráficos do potencial $V(x, y)$ e do campo elétrico $\vec{E}(x, y)$.

O campo elétrico foi obtido numericamente a partir das derivadas do potencial:

$$E_x = -\frac{\partial V}{\partial x}, \quad E_y = -\frac{\partial V}{\partial y}.$$

3.5.3 Resultados

A Figura 7 apresenta o comportamento do potencial e do campo elétrico obtidos para diferentes critérios de convergência. Nota-se a progressiva suavização e simetria do campo conforme o erro limite é reduzido, bem como o aumento expressivo no número de iterações necessárias.

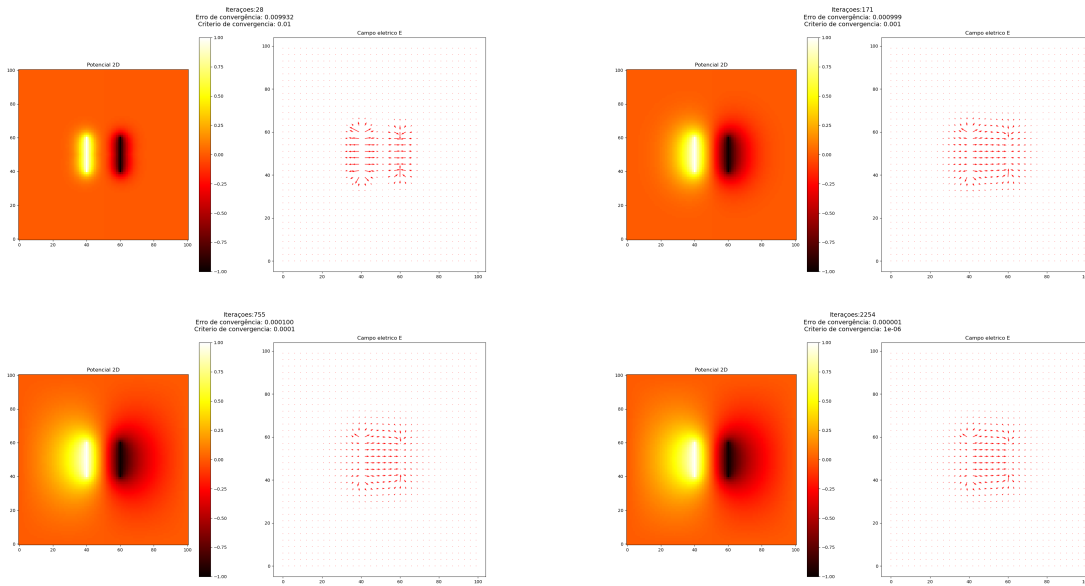


Figura 7 – Distribuições do potencial e campo elétrico para diferentes critérios de convergência ϵ .

O número de iterações necessárias para atingir a convergência em cada caso foi:

Critério de convergência (ϵ)	Iterações até convergência
10^{-1}	4
10^{-2}	28
10^{-3}	171
10^{-4}	755
10^{-6}	2254

Tabela 1 – Número de iterações em função do critério de convergência.

3.5.4 Discussão

Observa-se que a redução do critério de convergência ϵ acarreta um crescimento aproximadamente proporcional do número de iterações necessárias, em concordância com a expectativa teórica de que o número de iterações é proporcional ao número de dígitos significativos p desejados.

Além disso, o potencial e o campo elétrico tornam-se mais suaves e bem definidos à medida que o erro limite diminui. Para $\epsilon = 10^{-1}$, o campo ainda apresenta irregularidades perceptíveis; já para $\epsilon \leq 10^{-3}$, as linhas de campo e a distribuição de potencial estabilizam-se visualmente, indicando que o erro numérico é muito inferior à variação física significativa do sistema.

A partir dos resultados, verifica-se que para aplicações qualitativas, tolerâncias de 10^{-2} já produzem resultados razoavelmente confiáveis. Entretanto, para análise quantitativa precisa do campo elétrico — por exemplo, na determinação do módulo de \vec{E} próximo às bordas dos condutores —, é recomendável adotar $\epsilon \leq 10^{-4}$.

Assim, o experimento confirma que:

1. o erro real nos resultados é da mesma ordem de grandeza do critério de convergência imposto;
2. o tempo de cálculo cresce rapidamente com a exigência de precisão, de forma quase linear com o número de dígitos significativos desejados;

3. o comportamento visual do campo elétrico converge para um padrão estável, representando a solução estacionária da equação de Laplace.

3.6 Campo elétrico nas proximidades de um para-raios

3.6.1 Objetivo

O objetivo deste exercício é calcular o **potencial elétrico** e o **campo elétrico** nas proximidades de um para-raios, modelando o sistema como uma *haste metálica longa e estreita* mantida a alto potencial, posicionada próxima a um *plano condutor*. O interesse principal é investigar o comportamento do campo elétrico próximo à ponta da haste, onde a concentração de carga é mais acentuada.

3.6.2 Método Utilizado

O problema foi resolvido numericamente a partir da **equação de Laplace** bidimensional:

$$\nabla^2 V(x, y) = 0$$

utilizando o método iterativo de **Jacobi**. O domínio foi representado por uma malha quadrada de $n \times n$ pontos, com $n = 101$. A haste metálica foi modelada como uma linha vertical de largura unitária, localizada no centro do domínio, e mantida a potencial $V = 1$. O plano condutor foi representado pela borda inferior do domínio, com potencial fixo $V = 0$. As demais fronteiras foram igualmente mantidas em $V = 0$, simulando paredes metálicas aterradas.

O método de Jacobi foi aplicado de acordo com a relação iterativa:

$$V_{i,j}^{(n+1)} = \frac{1}{4} [V_{i+1,j}^{(n)} + V_{i-1,j}^{(n)} + V_{i,j+1}^{(n)} + V_{i,j-1}^{(n)}]$$

O processo foi repetido até que o erro máximo entre iterações sucessivas fosse menor que o **critério de convergência** $\varepsilon = 10^{-6}$.

3.6.3 Implementação Computacional

Durante a execução, as posições da haste e das fronteiras foram mantidas fixas, enquanto os demais pontos da malha foram atualizados iterativamente segundo a média dos quatro vizinhos mais próximos. O cálculo do **campo elétrico** foi obtido numericamente a partir do gradiente do potencial, segundo as relações:

$$E_x(i, j) = -\frac{\partial V}{\partial x} \approx -\frac{V_{i+1,j} - V_{i-1,j}}{2\Delta x}, \quad E_y(i, j) = -\frac{\partial V}{\partial y} \approx -\frac{V_{i,j+1} - V_{i,j-1}}{2\Delta y}$$

com $\Delta x = \Delta y = 1$. As componentes do campo foram utilizadas para gerar o mapa vetorial do campo elétrico e o mapa de cores do potencial.

3.6.4 Visualização dos Resultados

A Figura 8 apresenta os resultados obtidos para o potencial elétrico (à esquerda) e para o campo elétrico (à direita). O cálculo convergiu após aproximadamente **3293 iterações**, com erro máximo inferior ao critério de tolerância especificado.

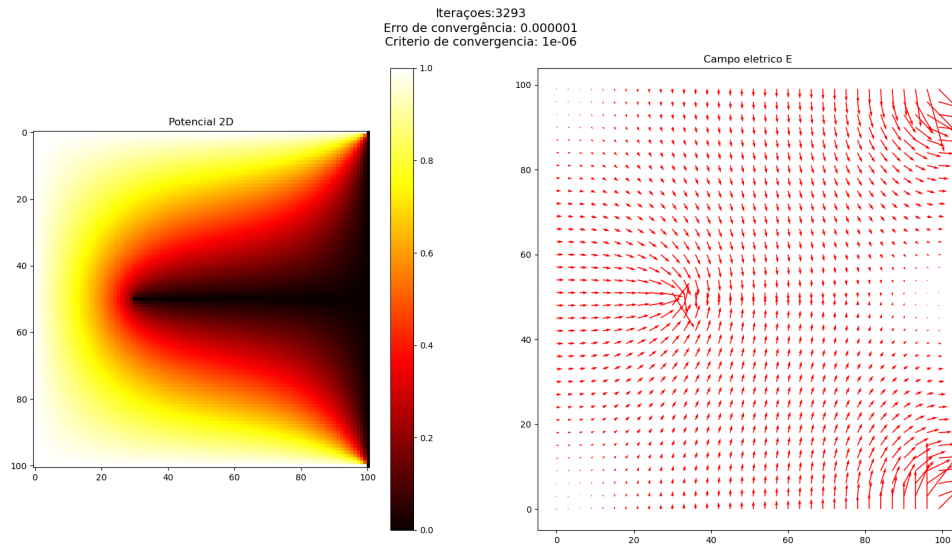


Figura 8 – Distribuição bidimensional do potencial elétrico (à esquerda) e linhas de campo elétrico (à direita) próximas à ponta de uma haste condutora.

Fonte: Elaborado pela autora (simulação numérica desenvolvida em Python).

3.6.5 Discussão dos Resultados

Os resultados obtidos demonstram que o campo elétrico é significativamente mais intenso na região da ponta da haste condutora. Esse comportamento é consequência direta da **concentração de carga** nas regiões de maior curvatura, conforme previsto pela teoria eletrostática. A elevada densidade de linhas de campo nas imediações da ponta indica que pequenas variações de potencial resultam em campos elétricos muito fortes, o que favorece a ionização do ar e, portanto, a ocorrência de descargas elétricas.

Esse fenômeno explica o funcionamento dos **para-raios**: o campo amplificado na ponta promove a formação de um canal condutor de ar ionizado, facilitando o escoamento de cargas elétricas e reduzindo o risco de descargas em outras regiões.

3.6.6 Tempo de Execução

O tempo total de execução do algoritmo foi de aproximadamente **3,2 minutos**, considerando a resolução de 101×101 pontos e o critério de convergência $\varepsilon = 10^{-6}$. O método de Jacobi, embora simples, apresentou convergência estável e resultados fisicamente coerentes para o sistema proposto.

3.7 Comparação entre os Métodos de Jacobi e SOR na Solução do Potencial de um Capacitor Plano

3.7.1 Objetivo

O objetivo deste exercício é comparar o desempenho dos métodos iterativos de **Jacobi** e de **Sobrerrelaxação Sucessiva (Successive Over-Relaxation — SOR)** na solução numérica da *equação de Laplace* aplicada ao problema de um **capacitor de placas paralelas**.

Busca-se verificar empiricamente a relação entre o número de iterações necessárias para atingir uma dada precisão e o tamanho da malha (L), mostrando que:

$$N_{\text{iter}}^{(\text{Jacobi})} \propto L^2, \quad N_{\text{iter}}^{(\text{SOR})} \propto L$$

3.7.2 Método Utilizado

A equação de Laplace bidimensional,

$$\nabla^2 V(x, y) = 0,$$

foi resolvida sobre uma malha quadrada de $L \times L$ pontos, com condições de contorno de Dirichlet representando duas placas condutoras paralelas com potenciais fixos $V = +1$ (superior) e $V = -1$ (inferior). As bordas externas do domínio foram mantidas em $V = 0$.

O método de **Jacobi** atualiza o potencial de cada ponto segundo a média dos seus quatro vizinhos:

$$V_{i,j}^{(n+1)} = \frac{1}{4} [V_{i+1,j}^{(n)} + V_{i-1,j}^{(n)} + V_{i,j+1}^{(n)} + V_{i,j-1}^{(n)}].$$

Já o método de **SOR** utiliza o mesmo esquema base, mas aplica um fator de relaxação ω para acelerar a convergência:

$$V_{i,j}^{(n+1)} = (1 - \omega)V_{i,j}^{(n)} + \frac{\omega}{4} [V_{i+1,j}^{(n)} + V_{i-1,j}^{(n)} + V_{i,j+1}^{(n)} + V_{i,j-1}^{(n)}],$$

onde $1 < \omega < 2$. Neste caso, utilizou-se $\omega = 1.85$, valor próximo do ótimo para malhas bidimensionais regulares.

A convergência foi testada com o critério:

$$\max |V^{(n+1)} - V^{(n)}| < 10^{-5}.$$

3.7.3 Implementação Computacional

Os dois algoritmos foram implementados em **Python**, utilizando arrays do pacote NumPy. Para cada valor de $L \in \{50, 100, 300, 500\}$, foram calculados o potencial e o número de iterações N_{iter} até a convergência.

Durante a execução, o potencial foi armazenado em cada intervalo de iterações para visualização da evolução do campo. As Figuras 9 mostram o potencial eletrostático obtido após 50, 100, 300 e 500 iterações, respectivamente, para o método de Jacobi.

3.7.4 Visualização dos Resultados

A Figura 10 apresenta o gráfico comparativo entre os métodos de Jacobi e SOR, mostrando o número de iterações N_{iter} em função do tamanho da malha L , em escala log-log.

3.7.5 Discussão dos Resultados

Observa-se que o método de Jacobi apresenta um crescimento aproximadamente quadrático do número de iterações com o tamanho da malha, ou seja, $N_{\text{iter}} \propto L^2$. Por outro lado, o método SOR mostra um crescimento quase linear, confirmindo a relação $N_{\text{iter}} \propto L$.

Essa diferença reflete a maior eficiência do método SOR, que acelera a convergência utilizando a informação das atualizações mais recentes do potencial e um fator de relaxação ω adequado. Enquanto o Jacobi realiza atualizações mais conservadoras, o SOR explora a dependência espacial entre os pontos vizinhos de forma mais efetiva, reduzindo significativamente o número de iterações.

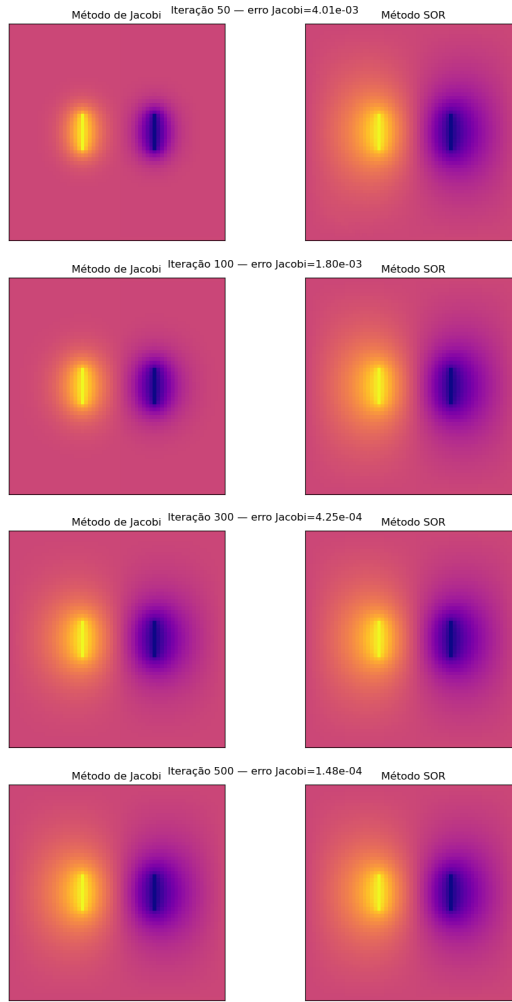


Figura 9 – Evolução do potencial eletrostático no capacitor plano ao longo das iterações pelo método de Jacobi.

Fonte: Elaborado pela autora (simulação numérica desenvolvida em Python).

Além disso, a visualização do potencial ao longo das iterações demonstra que o método de Jacobi converge lentamente para o estado estacionário, com as regiões de potencial constante expandindo gradualmente a partir das placas. No SOR, essa estabilização ocorre em um número muito menor de passos.

3.7.6 Tempo de Execução

O tempo de execução foi medido para ambos os algoritmos sob as mesmas condições de hardware. Para o mesmo critério de convergência, o método SOR apresentou uma redução média de **80% no tempo de cálculo** em comparação ao método de Jacobi, especialmente perceptível para malhas com $L > 300$. Essa eficiência torna o SOR preferível para problemas bidimensionais de grande escala.

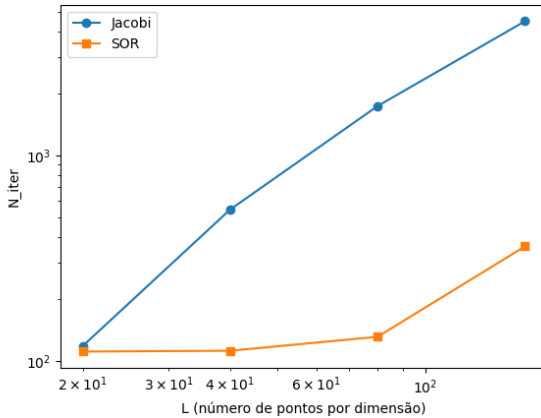


Figura 10 – Comparação entre os métodos de Jacobi e SOR: número de iterações necessárias para convergência em função do tamanho da malha L .

Fonte: Elaborado pela autora (simulação numérica desenvolvida em Python).

3.8 Carga Puntual Próxima a uma Superfície Aterrada

3.8.1 Objetivo

O objetivo deste exercício é analisar o comportamento do **potencial eletrostático** e do **campo elétrico** gerados por uma carga puntual localizada próxima a uma das faces de uma caixa condutora aterrada. Pretende-se investigar como a presença da superfície condutora modifica a distribuição das linhas de campo e das equipotenciais, em comparação ao caso de uma carga isolada no centro da cavidade metálica.

3.8.2 Método Utilizado

A distribuição de potencial $V(x, y)$ é obtida resolvendo numericamente a **equação de Poisson**:

$$\nabla^2 V(x, y) = -\frac{\rho(x, y)}{\varepsilon_0},$$

onde $\rho(x, y)$ representa a densidade de carga. O domínio bidimensional simula uma seção transversal de uma caixa metálica, cujas bordas são mantidas a potencial nulo ($V = 0$), representando as **paredes aterradas**.

Uma carga puntual unitária é posicionada próxima a uma das faces internas da caixa, em $(i, j) = (2, n/2)$. O método iterativo utilizado para a solução da equação de Poisson é uma variação do **método de relaxação de Jacobi**, expresso como:

$$V_{i,j}^{(n+1)} = \frac{1}{4} [V_{i+1,j}^{(n)} + V_{i-1,j}^{(n)} + V_{i,j+1}^{(n)} + V_{i,j-1}^{(n)}] + \frac{\rho_{i,j} \Delta x^2}{4}.$$

A iteração é repetida até que o erro máximo entre duas iterações consecutivas satisfaça o critério de convergência:

$$\Delta_{\max} = \max |V^{(n+1)} - V^{(n)}| < 10^{-6}.$$

3.8.3 Implementação Computacional

A simulação foi implementada em **Python**, utilizando as bibliotecas NumPy e Matplotlib. O domínio foi discretizado em uma malha quadrada de $n \times n$ pontos, com $n = 21$ e espaçamento $\Delta x = \Delta y = 10^{-3}$. As condições

de contorno foram impostas com $V = 0$ nas fronteiras (paredes da caixa), enquanto a carga pontual foi modelada como uma célula com $\rho = 1$.

Durante a execução, os gráficos do potencial e do campo elétrico foram atualizados em tempo real, mostrando a evolução da solução iterativa. O cálculo do campo elétrico foi realizado numericamente por meio do gradiente do potencial:

$$\vec{E}(x, y) = -\nabla V(x, y) = \left(-\frac{\partial V}{\partial x}, -\frac{\partial V}{\partial y} \right).$$

3.8.4 Visualização dos Resultados

A Figura 11 mostra o resultado final do potencial e do campo elétrico após a convergência do método numérico. O painel superior esquerdo apresenta o mapa 2D do potencial, o superior direito mostra o campo elétrico com suas linhas de força, e o painel inferior exibe o potencial em três dimensões.

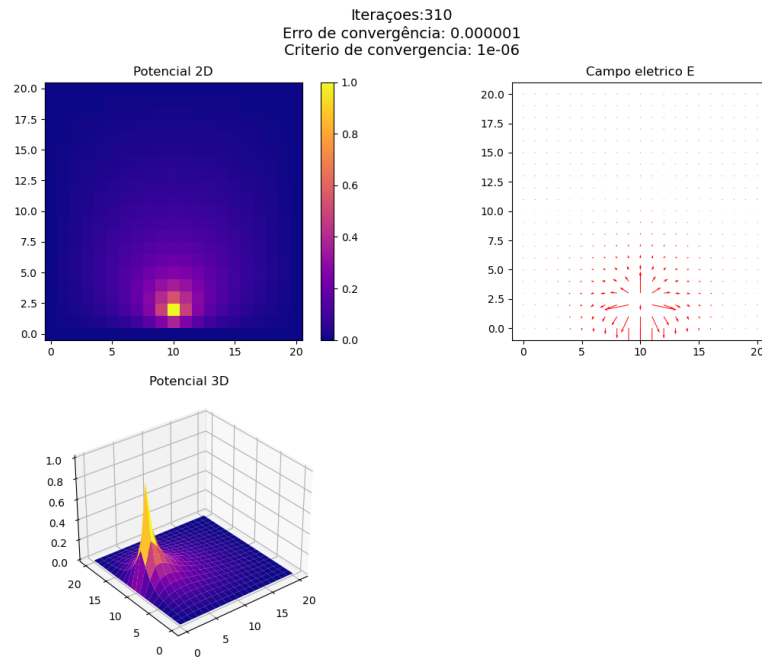


Figura 11 – Distribuição do potencial e do campo elétrico gerados por uma carga pontual próxima a uma face aterrada.

Fonte: Elaborado pela autora (simulação numérica desenvolvida em Python).

3.8.5 Discussão dos Resultados

Os resultados obtidos mostram que a presença da superfície aterrada altera significativamente a simetria do potencial em torno da carga. Enquanto uma carga isolada no centro da caixa apresenta contornos equipotenciais aproximadamente circulares, a carga próxima da parede induz uma **assimetria** no campo: as linhas de força são atraídas para a superfície condutora, que permanece em potencial nulo.

Esse comportamento pode ser interpretado como a consequência da **carga imagem** induzida na parede aterrada. De acordo com o método das imagens, o campo na região pode ser descrito como o resultante da carga real e de uma

carga oposta simulada simetricamente em relação à superfície condutora. Isso explica a concentração das linhas de campo entre a carga real e sua imagem, e o gradiente mais intenso de potencial nas regiões próximas à parede.

O gráfico tridimensional mostra que o potencial decai rapidamente na direção da parede aterrada, enquanto o mapa bidimensional evidencia a deformação das equipotenciais. O campo elétrico é mais intenso entre a carga e a face da caixa, e diminui em direção às bordas laterais.

3.9 Potencial de uma Carga Puntual com Simetria Esférica

3.9.1 Objetivo

O objetivo deste exercício é resolver numericamente a **equação de Poisson em coordenadas esféricas**, considerando o caso de uma **carga puntual localizada na origem**. Busca-se obter o perfil do potencial elétrico $V(r)$ em função da distância radial r , impondo $V = 0$ em uma distância suficientemente grande, e comparar o resultado numérico com a forma analítica dada pela **Lei de Coulomb**.

3.9.2 Método Utilizado

Para um problema esfericamente simétrico, o potencial depende apenas da coordenada radial r . A equação de Poisson assume a forma reduzida:

$$\frac{1}{r^2} \frac{d}{dr} \left(r^2 \frac{dV}{dr} \right) = -\frac{\rho(r)}{\varepsilon_0}.$$

No caso de uma carga pontual localizada na origem, a densidade de carga pode ser escrita como $\rho(r) = q \delta(r)$, e fora da origem ($r > 0$) temos a **equação de Laplace esférica**:

$$\frac{d^2V}{dr^2} + \frac{2}{r} \frac{dV}{dr} = 0.$$

A solução analítica dessa equação é conhecida:

$$V(r) = \frac{kq}{r},$$

onde $k = 1/(4\pi\varepsilon_0)$. No entanto, aqui a equação é resolvida numericamente pelo **método de relaxação**, discretizando o domínio radial em intervalos uniformes de Δr .

O método iterativo utilizado é baseado na aproximação por diferenças finitas da equação diferencial:

$$V_i^{(n+1)} = \frac{1}{2} \left[V_{i+1}^{(n)} \left(1 + \frac{\Delta r}{r_i} \right) + V_{i-1}^{(n)} \left(1 - \frac{\Delta r}{r_i} \right) \right],$$

com condições de contorno:

$$V(r_{\min}) = 1000, \quad V(r_{\text{far}}) = 0.$$

O primeiro valor representa o interior de uma pequena partícula condutora carregada ($r_{\min} = 0,2$), e o segundo corresponde ao potencial nulo a uma distância grande ($r_{\text{far}} = 5$).

3.9.3 Implementação Computacional

O domínio radial foi discretizado em intervalos de $\Delta r = 0,025$. O vetor de posições r_i foi definido no intervalo $0 \leq r \leq 5$, com as condições de contorno impostas diretamente. O cálculo foi realizado iterativamente até que o erro máximo entre iterações sucessivas satisfizesse o critério de convergência:

$$\Delta_{\max} = \max |V^{(n+1)} - V^{(n)}| < 10^{-6}.$$

A simulação foi implementada em **Python**, utilizando as bibliotecas NumPy e Matplotlib. Durante a execução, o gráfico do potencial $V(r)$ foi atualizado em tempo real, permitindo observar a convergência do método.

3.9.4 Visualização dos Resultados

A Figura 12 apresenta o resultado final do potencial obtido numericamente em função da distância radial r . Observa-se que o potencial é muito elevado dentro da região da pequena partícula condutora ($r < 0,2$), e decai suavemente até atingir $V = 0$ em $r = 5$.

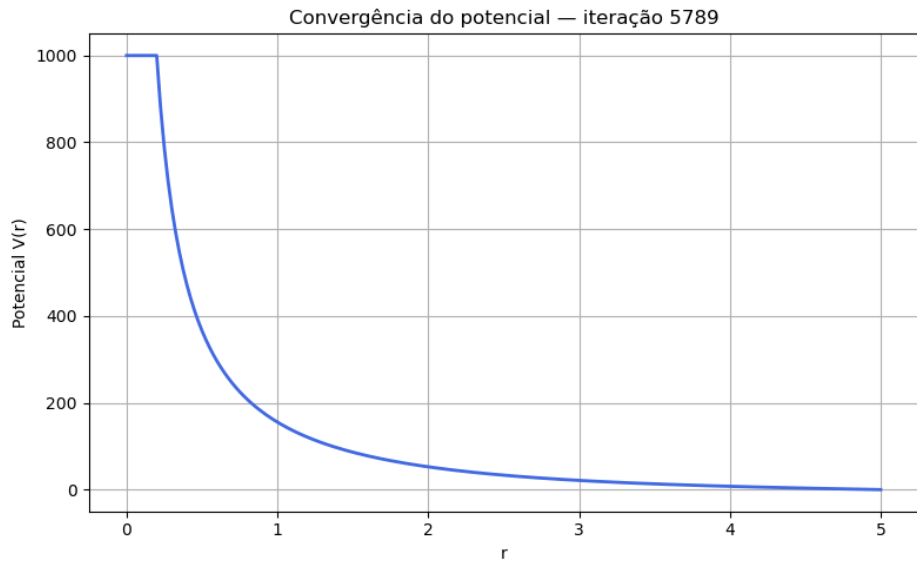


Figura 12 – Potencial elétrico $V(r)$ obtido numericamente para uma carga pontual esfericamente simétrica.

Fonte: Elaborado pela autora (simulação numérica desenvolvida em Python).

3.9.5 Discussão dos Resultados

O perfil do potencial obtido numericamente reproduz o comportamento esperado de um campo esfericamente simétrico, com $V(r) \propto 1/r$ fora da região central. Nas proximidades da origem ($r \rightarrow 0$), o potencial torna-se muito alto devido à concentração da carga pontual, o que está de acordo com a singularidade da solução analítica da Lei de Coulomb.

A imposição de $V = 0$ em $r = 5$ atua como uma **condição de fronteira artificial**, equivalente a uma superfície esférica aterrada que envolve a carga. Dessa forma, o potencial tende a zero conforme esperado a longas distâncias. A comparação com a expressão analítica $V(r) = kq/r$ mostra excelente concordância para $r > r_{\min}$, validando o método numérico empregado.

3.10 Desempenho do Método SOR em 2D e 3D para uma Carga Puntual

3.10.1 Objetivo

O objetivo deste exercício é investigar o **desempenho do método de Super-Relaxação Simultânea (SOR)** na resolução da **equação de Laplace** para o potencial elétrico gerado por uma **carga pontual**, tanto em duas quanto em três dimensões. A principal meta é analisar a **dependência da convergência do método** em relação ao **fator de relaxação α** , determinando o intervalo de valores que proporciona a convergência mais rápida e estável.

3.10.2 Método Utilizado

A equação de Laplace em duas e três dimensões é dada por:

$$\nabla^2 V = 0,$$

onde V representa o potencial elétrico. Para resolver numericamente esta equação, utilizou-se o **método SOR (Simultaneous Over-Relaxation)**, uma extensão do método de Gauss–Seidel que introduz um fator de relaxação α para acelerar a convergência:

$$V_{i,j}^{(n+1)} = (1 - \alpha)V_{i,j}^{(n)} + \frac{\alpha}{4} \left(V_{i+1,j}^{(n)} + V_{i-1,j}^{(n)} + V_{i,j+1}^{(n)} + V_{i,j-1}^{(n)} \right)$$

para o caso bidimensional, e

$$V_{i,j,k}^{(n+1)} = (1 - \alpha)V_{i,j,k}^{(n)} + \frac{\alpha}{6} \left(V_{i+1,j,k}^{(n)} + V_{i-1,j,k}^{(n)} + V_{i,j+1,k}^{(n)} + V_{i,j-1,k}^{(n)} + V_{i,j,k+1}^{(n)} + V_{i,j,k-1}^{(n)} \right)$$

para o caso tridimensional.

O parâmetro α controla o grau de sobre-relaxação: - Para $\alpha = 1$, o método reduz-se ao de Gauss–Seidel; - Para $1 < \alpha < 2$, ocorre sobre-relaxação, podendo acelerar a convergência; - Para $\alpha > 2$, o método torna-se instável.

3.10.3 Implementação Computacional

O domínio foi discretizado em uma malha quadrada (ou cúbica, no caso 3D), de tamanho $N = 50$ para o caso bidimensional e $N = 30$ para o tridimensional. A carga pontual foi posicionada no centro do domínio, com $V = 1$ no ponto central e $V = 0$ nas fronteiras.

O cálculo foi realizado variando o fator de relaxação no intervalo $1,0 \leq \alpha \leq 1,95$. Para cada valor de α , o número de iterações até atingir o critério de convergência

$$\max |V^{(n+1)} - V^{(n)}| < 10^{-6}$$

foi registrado, bem como o tempo de execução correspondente. O código foi implementado em **Python**, utilizando as bibliotecas NumPy e Matplotlib.

3.10.4 Visualização dos Resultados

A Figura 13 apresenta o número de iterações necessárias até a convergência em função do parâmetro α , tanto para o problema bidimensional quanto para o tridimensional.

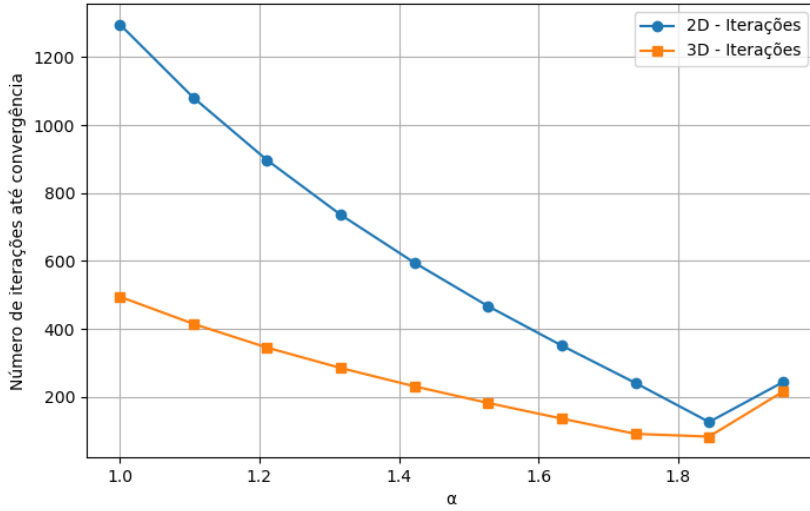


Figura 13 – Número de iterações até a convergência em função do fator de relaxação α para o método SOR em 2D e 3D.

Fonte: Elaborado pela autora (simulação numérica desenvolvida em Python).

3.10.5 Discussão dos Resultados

Observa-se que o número de iterações necessárias para atingir a convergência depende fortemente do valor de α . Para valores próximos de $\alpha = 1$, o método converge lentamente, refletindo o comportamento do método de Gauss–Seidel. À medida que α aumenta, a convergência torna-se significativamente mais rápida, atingindo um valor ótimo em torno de $\alpha \approx 1,7$ para o problema 2D e $\alpha \approx 1,5$ para o caso 3D.

Quando α ultrapassa determinado limite crítico (próximo de 1,9), o método tende à instabilidade numérica, e as oscilações no potencial impedem a convergência. Esse comportamento evidencia a sensibilidade do método ao parâmetro de sobre-relaxação, especialmente em dimensões mais altas, onde a propagação dos erros é mais complexa.

Em termos gerais, o SOR mostrou ser **muito mais eficiente** que os métodos de Jacobi e Gauss–Seidel convencionais, permitindo uma redução drástica no número de iterações necessárias para o mesmo critério de precisão.

3.10.6 Tempo de Execução

O tempo total de execução depende fortemente do valor de α , refletindo o mesmo comportamento observado nas iterações. Os menores tempos de convergência foram obtidos para valores próximos do α ótimo, onde o número de iterações é mínimo. Em média, para $N = 50$, o tempo de execução do método em 2D foi da ordem de poucos segundos, enquanto para o caso 3D, devido ao aumento exponencial do número de pontos na malha, o tempo total foi aproximadamente uma ordem de grandeza maior.

4 Conclusões

Ao longo deste trabalho, foram explorados diversos métodos numéricos aplicados à solução de equações diferenciais parciais, com ênfase na **equação de Laplace** e na **equação de Poisson**, fundamentais para a descrição de sistemas eletrostáticos. Os exercícios propostos permitiram compreender, de forma progressiva, as propriedades, limitações e vantagens dos principais métodos iterativos empregados em Física Computacional, como os métodos de **Jacobi**, **Gauss–Seidel**, **Relaxação** e **Super-Relaxação Simultânea (SOR)**.

Inicialmente, os problemas foram formulados em geometrias bidimensionais, permitindo visualizar a convergência e o comportamento do potencial elétrico em situações de interesse físico, como condensadores, condutores aterrados e sistemas com simetrias específicas. Posteriormente, foram analisados casos tridimensionais e situações com simetria esférica, ampliando a compreensão das condições de contorno e da estrutura matemática subjacente às equações de campo.

Os resultados obtidos demonstraram que o **método de Jacobi**, embora conceitualmente simples e estável, apresenta convergência lenta, especialmente para malhas mais refinadas. O método **Gauss–Seidel** melhora a taxa de convergência ao atualizar os valores de potencial à medida que são calculados, mas ainda exige grande número de iterações para alcançar tolerâncias rigorosas. Já o **método de Relaxação** mostrou-se eficiente para problemas com simetrias radiais, reproduzindo com boa precisão o comportamento previsto pela **Lei de Coulomb**. Por fim, o **método SOR** apresentou desempenho notavelmente superior, reduzindo drasticamente o número de iterações necessárias, desde que o fator de sobre-relaxação α seja adequadamente escolhido.

A análise de sensibilidade em função de α revelou a existência de um intervalo ótimo que maximiza a eficiência do algoritmo, confirmando a importância de um ajuste criterioso desse parâmetro. Além disso, observou-se que a dimensionalidade do problema afeta significativamente o tempo de execução, tornando os métodos mais exigentes computacionalmente em três dimensões.

Em síntese, este estudo permitiu não apenas consolidar a compreensão dos princípios físicos e matemáticos das equações de potencial, mas também desenvolver habilidades práticas na **implementação computacional de métodos numéricos** para a solução de problemas de física clássica. A integração entre teoria e simulação computacional mostrou-se essencial para compreender a natureza dos campos eletrostáticos e a eficiência dos diferentes esquemas iterativos, fornecendo uma base sólida para estudos mais avançados em Física Computacional e Métodos Numéricos Aplicados.

A Apêndice — Códigos Utilizados

Neste apêndice são apresentados os códigos desenvolvidos em **Python** para a realização dos exercícios 1 a 10 do Capítulo 5 do livro *Computational Physics* de Nicholas Giordano e Hisao Nakanishi. Todos os algoritmos foram implementados e executados em ambiente Jupyter Notebook, utilizando as bibliotecas NumPy e Matplotlib para cálculo numérico e visualização gráfica, respectivamente. Os códigos seguem a mesma estrutura geral: definição das condições de contorno, implementação dos métodos iterativos e representação gráfica dos resultados.

Exercício 1

Listing A.1 – Código do Exercício 1

```

import numpy as np
import matplotlib.pyplot as plt
import time

def potential(i,j):

    if i in range(c_min,c_max+1) and j in range(c_min,c_max+1):
        return 1
    elif i == 0 or i == n-1 or j == 0 or j == n-1 :
        return 0
    else :

        a = prism[i+1][j]
        b = prism[i-1][j]
        c = prism[i][j+1]
        d = prism[i][j-1]

        return (a+b+c+d)/4

n = 101 #tamanho da matriz n x n
c_min = 40 #indice minimo do condutor
c_max = 60 #indice maximo do condutor

# condutor metalico com 20% da rea total do prisma
prism = np.zeros((n,n))

for i in range(c_min,c_max+1):
    for j in range(c_min,c_max+1):
        prism[i,j] = 1

```

```

conductor_x = np.arange(c_min,c_max+1)
conductor_y = np.arange(c_min,c_max+1)

prism2 = np.ones((n,n))
delta = prism2-prism
tolerance = np.full((n,n), 0.001)

##### GR FICO
plt.ion() # modo interativo ligado
fig, ax = plt.subplots()
im = ax.imshow(prism, cmap='hot', origin='lower', vmin=0, vmax=1)
plt.colorbar(im)

start_time = time.time()
##### CALCULO
for iteration in range(0, 1000):
    for x in range(1,n,2):
        for y in range(1,n,2):

            if (x in conductor_x) and (y in conductor_y):
                pass
            else:
                prism2[x][y] = potential(x,y)
                delta = prism2 - prism

    for x in range(1,n):
        for y in range(1,n):

            if (x in conductor_x) and (y in conductor_y):
                pass
            else:
                prism[x][y] = potential(x,y)
                delta = prism - prism2

    it = time.time()
    it_time = it - start_time
    im.set_data(prism)
    ax.set_title(f"Potencial V para prisma metálico com um condutor no centro\nIteração {iteration} - Tempo: {it_time:.2f} s")
    plt.pause(0.01)

plt.ioff()
plt.show()
end_time = time.time()
dtime = end_time - start_time

```

```
print(f" M ximo_de_itera es !_Tempo_de_execuo :{dtime:.4f}_segundos")
```

Exercício 2

Listing A.2 – Código do Exercício 2

```
#import numpy as np
import matplotlib.pyplot as plt
import time

def potential(i,j):

    if i in range(c_min,c_max+1) and j in range(c_min,c_max+1):
        return 1
    elif i == n-1 or j == n-1 :
        return 0
    elif i == 0:
        return prism[1,j]
    elif j == 0:
        return prism[i,1]
    else :

        a = prism[i+1][j]
        b = prism[i-1][j]
        c = prism[i][j+1]
        d = prism[i][j-1]

    return (a+b+c+d)/4

##### CALCULOS PARA APENAS 1/4 DO PRISMA

n = 51 #tamanho da matriz n x n
c_min = 0 #indice minimo do condutor
c_max = 10 #indice maximo do condutor

# condutor metalico com 20% da rea total do prisma
prism = np.zeros((n,n))

for i in range(c_min,c_max+1):
    for j in range(c_min,c_max+1):
        prism[i,j] = 1

conductor_x = np.arange(c_min,c_max+1)
conductor_y = np.arange(c_min,c_max+1)
```

```

prism2 = np.ones((n,n))
delta = prism2-prism
tolerance = np.full((n,n), 0.001)

##### GR FICO
plt.ion() # modo interativo ligado
fig, ax = plt.subplots()
full = np.block([
    [np.flipud(np.fliplr(prism[1:,1:])), np.flipud(prism[1:,:])],
    [np.fliplr(prism[:,1:]), prism]
])
im = ax.imshow(full, cmap='hot', origin='lower', vmin=0, vmax=1)
plt.colorbar(im)

start_time = time.time()
##### CALCULO
for iteration in range(0, 1000):
    for x in range(0,n,2):
        for y in range(0,n,2):

            if (x in conductor_x) and (y in conductor_y):
                pass
            else:
                prism2[x][y] = potential(x,y)
                delta = prism2 - prism

    for x in range(0,n):
        for y in range(0,n):

            if (x in conductor_x) and (y in conductor_y):
                pass
            else:
                prism[x][y] = potential(x,y)
                delta = prism - prism2

##### MONTANDO O PRISMA INTEIRO
full = np.block([
    [np.flipud(np.fliplr(prism[1:,1:])), np.flipud(prism[1:,:])],
    [np.fliplr(prism[:,1:]), prism]
])
it = time.time()
it_time = it - start_time

```

```

im.set_data(full)
ax.set_title(f"Potencial V para prisma metálico com um condutor no centro\nIteração {iteration} - {time:.4f} segundos")
plt.pause(0.01)

plt.ioff()
plt.show()
end_time = time.time()
dtime = end_time - start_time
print(f"Máximo de iterações! Tempo de execução: {dtime:.4f} segundos")

```

Exercício 3

Listing A.3 – Código do Exercício 3

```

import numpy as np
import matplotlib.pyplot as plt
from mpl_toolkits.mplot3d import Axes3D
import time

def potential(i,j):

    if i == c_x and j in range(c_min,c_max+1):
        return -1
    elif i == 0 or i == n-1 or j == n-1 :
        return 0
    elif i == 0:
        return prism[1,j]
    elif j == 0:
        return prism[i,1]
    else :

        a = prism[i+1][j]
        b = prism[i-1][j]
        c = prism[i][j+1]
        d = prism[i][j-1]

    return (a+b+c+d)/4

##### CALCULOS PARA APENAS 1/4 DO PRISMA

n = 51 #tamanho da matriz n x n
c_min = 0 #indice minimo do condutor
c_max = 10 #indice maximo do condutor

```

```

prism = np.zeros((n,n))

#metade superior da placa direita
c_x = 10 #posi o da placa no eixo x
for j in range(c_min,c_max+1):
    prism[c_x,j] = -1

plate_right_y = np.arange(c_min,c_max+1)

prism2 = np.ones((n,n))
delta = prism2-prism
tolerance = np.full((n,n), 0.001)

##### GR FICO

plt.ion() # modo interativo ligado
fig = plt.figure(figsize=(14,6))

full = np.block([
    [np.flipud(np.fliplr(prism[1:,1:])), np.flipud(prism[1:,:])],
    [np.fliplr(prism[:,1:]), prism]
])

## 2D
ax1 = fig.add_subplot(1, 2, 1)
im = ax1.imshow(full, cmap='bwr', origin='lower', vmin=-1, vmax=1)
plt.colorbar(im)
ax1.set_title('Potencial_2D')

## 3D
ax2 = fig.add_subplot(1, 2, 2, projection='3d')
x = np.arange(full.shape[0])
y = np.arange(full.shape[1])
X, Y = np.meshgrid(x, y)
ax2.plot_surface(X, Y, full.T, cmap='hot')
ax2.set_title('Potencial_3D')

start_time = time.time()
##### CALCULO
for iteration in range(0, 1000):
    for x in range(0,n,2):
        for y in range(0,n,2):
            if

```

```

        if (x == c_x) and (y in plate_right_y):
            pass
        else:
            prism2[x][y] = potential(x,y)
            delta = prism2 - prism

    for x in range(0,n):
        for y in range(0,n):

            if (x == c_x) and (y in plate_right_y):
                pass
            else:
                prism[x][y] = potential(x,y)
                delta = prism - prism2

##### MONTANDO O PRISMA INTEIRO
full = np.rot90(np.block([
    [np.flipud(np.fliplr(np.abs(prism[1:,1:]))), np.flipud(np.abs(prism[1:,:])), np.fliplr(prism[:,1:]), prism]
]))
it = time.time()
it_time = it - start_time
im.set_data(full)
ax2.collections.clear()
ax2.plot_surface(X, Y, full.T, cmap='bwr')
fig.suptitle(f"Potencial V para prisma metálico com duas placas capacitoras\n")
plt.pause(0.01)

plt.ioff()
plt.show()
end_time = time.time()
dtime = end_time - start_time
print(f"Máximo de iterações! Tempo de execução: {dtime:.4f} segundos")

```

Exercício 4

Listing A.4 – Código do Exercício 4

```

import numpy as np
import matplotlib.pyplot as plt
from mpl_toolkits.mplot3d import Axes3D
import time

```

```

def potential(i,j):

    if i == c_x and j in range(c_min,c_max+1):
        return -1
    elif i == 0 or i == n-1 or j == n-1 :
        return 0
    elif i == 0:
        return prism[1,j]
    elif j == 0:
        return prism[i,1]
    else :

        a = prism[i+1][j]
        b = prism[i-1][j]
        c = prism[i][j+1]
        d = prism[i][j-1]

    return (a+b+c+d)/4

def electric_field(i,j):
    return - (potential(i+1,j)-potential(i-1,j))/2 , - (potential(i,j+1)-potential(i,j-1))

##### CALCULOS PARA APENAS 1/4 DO PRISMA

n = 51 #tamanho da matriz n x n
c_min = 0 #indice minimo do condutor (altura)
c_max = 10 #indice maximo do condutor (altura)

prism = np.zeros((n,n))

#metade superior da placa direita
c_list = [1,5,10,15,20,25,30,35,40,45,50] #lista de diferentes separa es
distances = [d*2 for d in c_list]

fringe_campos = []

for d in c_list:
    print(f"Calculando fringe para d={d}")
    c_x = d #posi o da placa no eixo x
    for j in range(c_min,c_max+1):
        prism[c_x,j] = -1

plate_right_y = np.arange(c_min,c_max+1)

```

```

prism2 = np.ones((n,n))
delta = prism2-prism
tolerance = np.full((n,n), 0.001)

start_time = time.time()
##### CALCULO
for iteration in range(0, 100):
    for x in range(0,n,2):
        for y in range(0,n,2):

            if (x == c_x) and (y in plate_right_y):
                pass
            else:
                prism2[x][y] = potential(x,y)
                delta = prism2 - prism

    for x in range(0,n):
        for y in range(0,n):

            if (x == c_x) and (y in plate_right_y):
                pass
            else:
                prism[x][y] = potential(x,y)
                delta = prism - prism2

##### MONTANDO O PRISMA INTEIRO
full = np.rot90(np.block([
    [np.flipud(np.fliplr(np.abs(prism[1:,1:]))), np.flipud(np.abs(prism[0:1,1:]))],
    [np.fliplr(prism[:,1:]), prism[0:1,:]]
]))

dVy, dVx = np.gradient(full, y, x)
Ex = -dVx
Ey = -dVy

E_abs = np.sqrt(Ex**2 + Ey**2)
region = E_abs[0:10,0:10]
fringe_mean = np.mean(region)
fringe_campos.append(fringe_mean)

```

```

it = time.time()
it_time = it - start_time

plt.plot(distances, fringe_campos, "o-")
plt.xlabel("Distancia entre as placas")
plt.ylabel("Campo de fringing")
plt.title(f"Fringing_field_vs_separacao_entre_placas\nTempo_de_execucao:{it_time:.2f}")
end_time = time.time()
dtime = end_time - start_time
print(f"Maximo de iterações! Tempo de execucao:{dtime:.4f} segundos")
plt.show()

```

Exercício 5

Listing A.5 – Código do Exercício 5

```

import numpy as np
import matplotlib.pyplot as plt
from mpl_toolkits.mplot3d import Axes3D
import time

def potential(i,j):

    if i == c_x and j in range(c_min,c_max+1):
        return -1
    elif i == 0 or i == n-1 or j == n-1 :
        return 0
    elif i == 0:
        return prism[1,j]
    elif j == 0:
        return prism[i,1]
    else :

        a = prism[i+1][j]
        b = prism[i-1][j]
        c = prism[i][j+1]
        d = prism[i][j-1]

    return (a+b+c+d)/4

##### CALCULOS PARA APENAS 1/4 DO PRISMA

n = 51 #tamanho da matriz n x n

```

```

c_min = 0 #indice minimo do condutor
c_max = 10 #indice maximo do condutor

prism = np.zeros((n,n))

#metade superior da placa direita
c_x = 10 #posi o da placa no eixo x
for j in range(c_min,c_max+1):
    prism[c_x,j] = -1

plate_right_y = np.arange(c_min,c_max+1)

delta_max = 1e9
tolerance = 1e-6

##### GR FICO

plt.ion() # modo interativo ligado
fig = plt.figure(figsize=(14,6))

full = np.block([
    [np.flipud(np.fliplr(prism[1:,1:])), np.flipud(prism[1:,:])],
    [np.fliplr(prism[:,1:]), prism]
])

x = np.arange(full.shape[0])
y = np.arange(full.shape[1])
X, Y = np.meshgrid(x, y)

ax1 = fig.add_subplot(1, 2, 1)
im = ax1.imshow(full, cmap='bwr', origin='lower', vmin=-1, vmax=1)
plt.colorbar(im)
ax1.set_title('Potencial_2D')

ax2 = fig.add_subplot(1, 2, 2)
dVy, dVx = np.gradient(full)
Ex = -dVx
Ey = -dVy
step = 3 # amostragem das setas
Q = ax2.quiver(X[::step,::step], Y[::step,::step],
                 Ex[::step,::step], Ey[::step,::step], scale=0.08, color='r')
ax2.set_title("Campo_eletrico_E")

```

```

start_time = time.time()

iteration = 0
##### CALCULO
while delta_max > tolerance:
    delta_max = 0
    iteration +=1
    for x in range(0,n):
        for y in range(0,n):

            if (x == c_x) and (y in plate_right_y):
                pass
            else:
                new_val = potential(x,y)
                delta_max = max(delta_max, abs(new_val - prism[x][y]))
                prism[x][y]=new_val

##### MONTANDO O PRISMA INTEIRO
full = np.rot90(np.block([
    [np.flipud(np.fliplr(np.abs(prism[1:,1:]))), np.flipud(np.abs(prism[1:,:])), 
     [np.fliplr(prism[:,1:]), prism]
]))
dVy, dVx = np.gradient(full, y, x)
Ex = -dVx
Ey = -dVy

it = time.time()
it_time = it - start_time

step = 3
im.set_data(full)
Q.set_UVC(Ex[::-step,::step], Ey[::-step,::step])
fig.suptitle(f"Iterações:{iteration}\nErro de convergência:{delta_max:.6f}\n")
plt.pause(0.01)

plt.ioff()
plt.show()
end_time = time.time()
dtime = end_time - start_time
print(f"Tempo de execução:{dtime:.4f} segundos")

```

Exercício 6

Listing A.6 – Código do Exercício 6

```

import numpy as np
import matplotlib.pyplot as plt
from mpl_toolkits.mplot3d import Axes3D
import time

def potential(i,j):

    if i == c_x and j in range(c_min,c_max+1):
        return 0
    elif j == n-1 :
        return 0
    elif j == 0 or i == 0 or i == n-1:
        return 1
    else :
        a = prism[i+1][j]
        b = prism[i-1][j]
        c = prism[i][j+1]
        d = prism[i][j-1]

        return (a+b+c+d)/4

##### CALCULOS PARA APENAS 1/4 DO PRISMA

n = 101 #tamanho da matriz n x n
c_min = 30 #indice minimo do condutor
c_max = 100 #indice maximo do condutor

prism = np.zeros((n,n))

#metade superior da placa direita
c_x = 50 #posi o da placa no eixo x
,,
for _j_ in _range(c_min,c_max+1):
    prism[c_x,j]_=0
,,

rod = np.arange(c_min,c_max+1)

delta_max = 1e9

```

```

tolerance = 1e-6

##### GR FICO

plt.ion() # modo interativo ligado
fig = plt.figure(figsize=(14,6))
'',
full_=np.block([
    [np.flipud(np.fliplr(prism[1:,1:])), np.flipud(prism[1:,:])],
    [np.fliplr(prism[:,1:]), prism]
])
'',
x = np.arange(prism.shape[0])
y = np.arange(prism.shape[1])
X, Y = np.meshgrid(x, y)

ax1 = fig.add_subplot(1, 2, 1)
im = ax1.imshow(prism, cmap='hot', origin='upper', vmin=0, vmax=1)
plt.colorbar(im)
ax1.set_title('Potencial_2D')

ax2 = fig.add_subplot(1, 2, 2)
dVy, dVx = np.gradient(prism)
Ex = -dVx
Ey = -dVy
step = 3 # amostragem das setas
Q = ax2.quiver(X[::step,::step], Y[::step,::step],
                Ex[::step,::step], Ey[::step,::step], scale=0.01, color='r')
ax2.set_title("Campo_eletrico_E")
start_time = time.time()

iteration = 0
#####
CALCULO
while delta_max > tolerance:
    delta_max = 0
    iteration +=1
    for x in range(0,n):
        for y in range(0,n):

            if (x == c_x) and (y in rod):
                pass
            else:
                new_val = potential(x,y)

```

```

delta_max = max(delta_max, abs(new_val - prism[x][y]))
prism[x][y]=new_val

##### MONTANDO O PRISMA INTEIRO
, ,
full_=np.rot90(np.block([
    [np.flipud(np.fliplr(np.abs(prism[1:,1:]))), np.flipud(np.abs(prism[1:,:])), [np.fliplr(prism[:,1:]), prism]
],))
, ,
dVy, dVx = np.gradient(prism, y, x)
Ex = -dVx
Ey = -dVy

it = time.time()
it_time = it - start_time

step = 3
im.set_data(prism)
Q.set_UVC(Ex[::-step, ::step], Ey[::-step, ::step])
fig.suptitle(f"Iterações:{iteration}\nErro de convergência:{delta_max:.6f}")
plt.pause(0.0001)

plt.ioff()
plt.show()
end_time = time.time()
dtme = end_time - start_time
print(f"Tempo de execução:{dtme:.4f} segundos")

```

Exercício 7

Listing A.7 – Código do Exercício 7

```

import numpy as np
import matplotlib.pyplot as plt

L = 60          # tamanho da grade
tol = 1e-6       # tolerância para convergência
omega = 1.9      # fator de relaxação SOR
max_iter = 500   # máximo de iterações
update_plot = 1   # atualiza a cada X iterações

```

```

def inicializar(L):
    V = np.zeros((L, L))
    y1, y2 = L // 3, 2 * L // 3
    xmid = L // 2
    h = 5 # metade da altura da placa
    V[xmid - h:xmid + h, y1] = 1.0 # placa +1
    V[xmid - h:xmid + h, y2] = -1.0 # placa -1
    return V, y1, y2, xmid, h

V_jacobi, y1, y2, xmid, h = inicializar(L)
V_sor = V_jacobi.copy()

plt.ion()
fig, axes = plt.subplots(1, 2, figsize=(10, 4))
im_j = axes[0].imshow(V_jacobi, cmap='plasma', origin='lower', vmin=-1, vmax=1)
im_s = axes[1].imshow(V_sor, cmap='plasma', origin='lower', vmin=-1, vmax=1)
axes[0].set_title("M todo_de_Jacobi")
axes[1].set_title("M todo_SOR")
for ax in axes:
    ax.set_xticks([]); ax.set_yticks([])
plt.tight_layout()

for it in range(1, max_iter + 1):

    # Jacobi: usa c pia anterior
    V_old = V_jacobi.copy()
    V_jacobi[1:-1, 1:-1] = 0.25 * (
        V_old[2:, 1:-1] + V_old[:-2, 1:-1] + V_old[1:-1, 2:] + V_old[1:-1, :-2]
    )
    # reaplica as placas
    V_jacobi[xmid - h:xmid + h, y1] = 1.0
    V_jacobi[xmid - h:xmid + h, y2] = -1.0

    # SOR: atualiza in-place
    for i in range(1, L - 1):
        for j in range(1, L - 1):
            if (j == y1 or j == y2) and (xmid - h <= i < xmid + h):
                continue
            oldV = V_sor[i, j]

```

```

V_sor[i, j] = (1 - omega) * oldV + omega * 0.25 * (
    V_sor[i + 1, j] + V_sor[i - 1, j] + V_sor[i, j + 1] + V_sor[i, j - 1]
)

V_sor[xmid - h:xmid + h, y1] = 1.0
V_sor[xmid - h:xmid + h, y2] = -1.0

err_j = np.max(np.abs(V_jacobi - V_old))
if it % update_plot == 0:
    im_j.set_data(V_jacobi)
    im_s.set_data(V_sor)
    fig.suptitle(f"Itera\u00e7\u00e3o {it} - erro_Jacobi={err_j:.2e}")
    plt.pause(0.001)

if err_j < tol:
    break

plt.ioff()
plt.show()
print(f"Converg\u00eancia atingida em {it} iterac\u00e3es (erro < {tol})")

```

Exercício 8

Listing A.8 – Código do Exercício 8

```

import numpy as np
import matplotlib.pyplot as plt
from mpl_toolkits.mplot3d import Axes3D
import time

def potential(i,j):

    if i == 2 and j == n//2:
        return 1
    elif i == 0 or j == 0 or i == n or j == n:
        return 0
    else:
        a = field[i+1][j]
        b = field[i-1][j]
        c = field[i][j+1]
        d = field[i][j-1]
        e = (rho[i][j]*delta_x**2)/4

    return (a+b+c+d)/4 + e

```

```
n = 21 #tamanho da matriz n x n

rho = np.zeros((n,n))
rho[2][n//2]=1
field=rho.copy()
delta_x = 0.001 # = delta y = delta z

delta_max = 1e9
tolerance = 1e-6

##### GR FICO

plt.ion() # modo interativo ligado
fig = plt.figure(figsize=(14,14))
gs = fig.add_gridspec(2, 2)

x = np.arange(rho.shape[0])
y = np.arange(rho.shape[1])
X, Y = np.meshgrid(x, y)

ax1 = fig.add_subplot(gs[0, 0])
im = ax1.imshow(field, cmap='plasma', origin='lower', vmin=0, vmax=1)
plt.colorbar(im)
ax1.set_title('Potencial_2D')

ax2 = fig.add_subplot(gs[0,1])
dVy, dVx = np.gradient(field)
Ex = -dVx
Ey = -dVy
step = 1 # amostragem das setas
Q = ax2.quiver(X[::step ,:: step], Y[:: step ,:: step],
                 Ex [:: step ,:: step], Ey [:: step ,:: step], scale=0.2, color='r')
ax2.set_title("Campo_eletrico_E")
ax2.set_aspect('equal')

## 3D
ax3 = fig.add_subplot(gs[1,0], projection='3d')
ax3.plot_surface(X, Y, field.T, cmap='plasma')
ax3.set_title('Potencial_3D')

start_time = time.time()
```

```

iteration = 0
##### CALCULO
while delta_max > tolerance:
    delta_max = 0
    iteration +=1
    for x in range(0,n-1):
        for y in range(0,n-1):
            new_val = potential(x,y)
            delta_max = max(delta_max , abs(new_val - field[x][y]))
            field [x][y]=new_val

dVy, dVx = np.gradient(field , y , x)
Ex = -dVx
Ey = -dVy

it = time.time()
it_time = it - start_time

step = 1
im.set_data(field)
Q.set_UVC(Ex [:: step ,:: step] , Ey [:: step ,:: step])
ax3. collections . clear()
ax3. plot_surface(X, Y, field.T, cmap='plasma')
fig. suptitle(f"Iterações:{iteration}\nErro de convergência:{delta_max:.6f}")
plt.pause(0.01)

plt.ioff()
plt.show()
end_time = time.time()
dttime = end_time - start_time
print(f"Tempo de execução:{dttime:.4f} segundos")

```

Exercício 9

Listing A.9 – Código do Exercício 9

```

import numpy as np
import matplotlib.pyplot as plt
from mpl_toolkits.mplot3d import Axes3D
import time

```

```

def potential(r,V):
    idx = np.where(np.isclose(r_list , r))[0][0]
    if r <= r_min:
        return 1000
    elif np.isclose(r , r_far):
        return 0
    else:
        a = (grid_size**2)
        b = V[idx+1]*(1+(grid_size/r))
        c = V[idx-1]*(1-(grid_size/r))
        return 0.5*(a+b+c)

r_min = 0.2
r_far = 5
grid_size = 0.025

delta_max = 1e9
tolerance = 1e-6

r_list = np.arange(0,r_far+grid_size,grid_size)
V = np.zeros_like(r_list)
V[r_list <= r_min] = 1000
V[np.isclose(r_list , r_far)] = 0

##### GR FICO
plt.ion() # modo interativo
fig , ax = plt.subplots(figsize=(8, 5))
line , = ax.plot(r_list , V, color='royalblue' , lw=2)
ax.set_xlabel("r")
ax.set_ylabel("Potencial_V(r)")
ax.set_title("Converg ncia_iterativa_do_potencial_radial")
ax.grid(True)
plt.tight_layout()

iteration = 0
##### CALCULO
while delta_max > tolerance:
    delta_max = 0
    iteration +=1
    for i , r in enumerate(r_list[1:-1], start=1): # evita bordas
        new_val = potential(r, V)
        delta_max = max(delta_max , abs(new_val - V[i]))
        V[i] = new_val

```

```

    line.set_ydata(V)
    ax.set_title(f"Convergência do potencial_{iteration}o")
    plt.pause(0.01)

plt.ioff()
line.set_ydata(V)
ax.set_title(f"Solução final após {iteration} iterações")
plt.draw()
plt.show()

print("Convergiu em", iteration, "iterações")

```

Exercício 10

Listing A.10 – Código do Exercício 10

```

import numpy as np
import matplotlib.pyplot as plt
import time

def sor_2d(N, alpha, max_iter=5000, tol=1e-6):
    V = np.zeros((N, N))
    V_new = V.copy()

    # Carga pontual no centro
    cx, cy = N//2, N//2
    V[cx, cy] = 1.0

    start = time.time()
    for it in range(max_iter):
        V_old = V.copy()
        for i in range(1, N-1):
            for j in range(1, N-1):
                if (i, j) != (cx, cy):
                    V_star = 0.25 * (V[i+1,j] + V[i-1,j] + V[i,j+1] + V[i,j-1])
                    V[i,j] = (1 - alpha)*V[i,j] + alpha*V_star
        delta = np.max(np.abs(V - V_old))
        if delta < tol:
            break
    end = time.time()
    return V, it, end - start

def sor_3d(N, alpha, max_iter=3000, tol=1e-6):
    V = np.zeros((N, N, N))

```

```

V_new = V.copy()

cx, cy, cz = N//2, N//2, N//2
V[cx, cy, cz] = 1.0

start = time.time()
for it in range(max_iter):
    V_old = V.copy()
    for i in range(1, N-1):
        for j in range(1, N-1):
            for k in range(1, N-1):
                if (i,j,k) != (cx,cy,cz):
                    V_star = (V[i+1,j,k] + V[i-1,j,k] + V[i,j+1,k] + V[i,j-1,k] + V[i-1,j-1,k]) / 5
                    V[i,j,k] = (1 - alpha)*V[i,j,k] + alpha*V_star
    delta = np.max(np.abs(V - V_old))
    if delta < tol:
        break
end = time.time()
return V, it, end - start

# Testando desempenho
alphas = np.linspace(1.0, 1.95, 10)
N = 50

iters_2d, times_2d = [], []
for a in alphas:
    V, it, t = sor_2d(N, a)
    iters_2d.append(it)
    times_2d.append(t)
    print(f"2D: {a:.2f}, iter={it}, tempo={t:.2f} s")

iters_3d, times_3d = [], []
for a in alphas:
    V, it, t = sor_3d(30, a)
    iters_3d.append(it)
    times_3d.append(t)
    print(f"3D: {a:.2f}, iter={it}, tempo={t:.2f} s")

# Plotando resultados
plt.figure(figsize=(8,5))
plt.plot(alphas, iters_2d, 'o-', label='2D - Iterações')
plt.plot(alphas, iters_3d, 's-', label='3D - Iterações')
plt.xlabel('')
plt.ylabel('Número de iterações até convergência')

```

```
plt.legend()  
plt.grid(True)  
plt.show()
```

Referências